



## TEORIA ELASTICITĂȚII ȘI PLASTICITĂȚII

1) Sistemul de ecuații

$$\frac{\partial \sigma_x}{\partial x} + \frac{\partial \tau_{yx}}{\partial y} + X = 0$$
$$\frac{\partial \tau_{xy}}{\partial x} + \frac{\partial \sigma_y}{\partial y} + Y = 0$$

reprezintă:

- a) ecuațiile de echilibru static ale unui element infinitesimal din interiorul unei șaibe aflate în stare plană de tensiune; a)
- b) ecuațiile de echilibru dinamic ale unui element infinitesimal din interiorul unei șaibe aflate în stare plană de tensiune; b)
- c) condițiile de contur în elasticitatea plană; c)
- d) condiția de continuitate în elasticitatea plană. d)

2) Sistemul de ecuații

$$p_x = \sigma_x l + \tau_{yx} m$$
$$p_y = \tau_{xy} l + \sigma_y m$$

reprezintă:

- c) ecuațiile de echilibru static ale unui element infinitesimal din interiorul unei șaibe aflate în stare plană de tensiune; a)
- d) ecuațiile de echilibru dinamic ale unui element infinitesimal din interiorul unei șaibe aflate în stare plană de tensiune; b)
- c) condițiile de contur în elasticitatea plană; c)
- d) condiția de continuitate în elasticitatea plană. d)

3) Sistemul de ecuații  $\varepsilon_x = \frac{\partial u}{\partial x}$ ,  $\varepsilon_y = \frac{\partial v}{\partial y}$ ,  $\gamma_{xy} = \frac{\partial u}{\partial y} + \frac{\partial v}{\partial x}$ , reprezintă:

- a) ecuațiile fizice în elasticitatea plană; a)
- b) ecuațiile geometrice în elasticitatea plană; b)
- c) ecuațiile fizice în elasticitatea spațială; c)
- d) condițiile de contur în elasticitatea plană. d)

4) Condiția  $\Delta(\sigma_x + \sigma_y) = 0$  reprezintă:

- a) ecuație de echilibru static în elasticitatea plană; a)
- b) condiția de continuitate a deformațiilor în elasticitatea plană, exprimată în tensiuni; b)
- c) condiția de continuitate a deformațiilor în elasticitatea spațială, exprimată în tensiuni; c)
- d) condiție de contur în elasticitatea plană. d)

5) Rezolvarea în tensiuni a unei probleme de elasticitate plană, în coordonate carteziene, revine la rezolvarea ecuației diferențiale (notația  $\nabla^2 \nabla^2 \equiv \Delta \Delta$ ):

- a)  $\nabla^2 \nabla^2 w(x, y) = \frac{p(x, y)}{D}$ ; a)   
 b)  $\nabla^2 \nabla^2 F(r, \vartheta) = 0$ ; b)   
 c)  $\frac{d^4 w}{dx^4} = \frac{p(x)}{D}$ ; c)   
 d)  $\nabla^2 \nabla^2 F(x, y) = 0$  d)

6) Funcția de tensiune  $F(x, y)$  generează următoarele tensiuni:

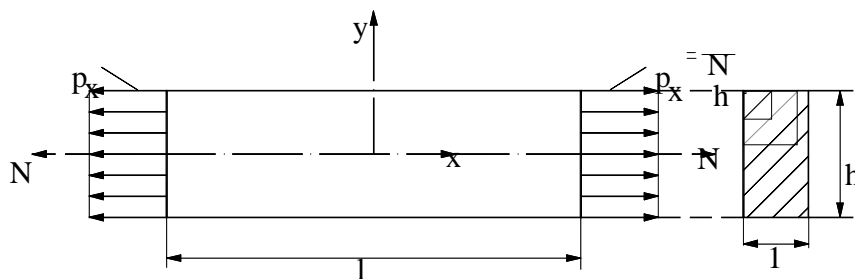
- a)  $\sigma_x = \frac{\partial^2 F}{\partial x^2}$ ;  $\sigma_y = \frac{\partial^2 F}{\partial y^2}$ ;  $\tau_{xy} = \frac{\partial^2 F}{\partial x \partial y}$ ; a)   
 b)  $\sigma_x = \frac{\partial F}{\partial y}$ ;  $\sigma_y = \frac{\partial F}{\partial x}$ ;  $\tau_{xy} = -\frac{\partial^2 F}{\partial x \partial y}$ ; b)   
 c)  $\sigma_x = \frac{\partial^2 F}{\partial y^2}$ ;  $\sigma_y = \frac{\partial^2 F}{\partial x^2}$ ;  $\tau_{xy} = -\frac{\partial^2 F}{\partial x \partial y}$ ; c)   
 d)  $\sigma_x = \frac{\partial^2 F}{\partial x^2} - X \cdot x$ ;  $\sigma_y = \frac{\partial^2 F}{\partial y^2} - Y \cdot y$ ;  $\tau_{xy} = -\frac{\partial^2 F}{\partial x \partial y}$ ; d)

7) Tensiunile generate de polinomul biarmonic  $F(x, y) = \frac{ax^2}{2} + bxy + \frac{cy^3}{6}$  au expresiile:

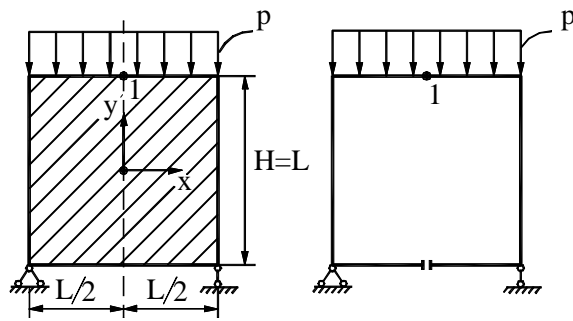
- a)  $\sigma_x = cy$ ;  $\sigma_y = a$ ;  $\tau_{xy} = -b$  a)   
 b)  $\sigma_x = bx + cy$ ;  $\sigma_y = a$ ;  $\tau_{xy} = -b$  b)   
 c)  $\sigma_x = cy$ ;  $\sigma_y = 0$ ;  $\tau_{xy} = -by$  c)   
 d)  $\sigma_x = bx + cy$ ;  $\sigma_y = a$ ;  $\tau_{xy} = 0$  d)

8) Pentru șaiba dreptunghiulară prezentată în figură, funcția de tensiune este:

- a)  $F(x) = p_x \frac{x^2}{2}$ ; b)  $F(x, y) = p_x xy$ ; c)  $F(y) = p_x \frac{y^2}{2}$ ; d)  $F(y) = p_x \frac{y^3}{6}$   
a)  b)  c)  d)

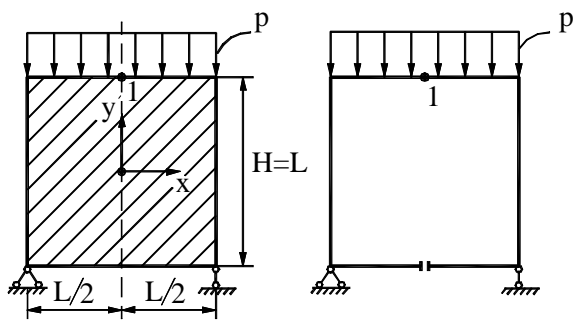


9) Funcția de tensiune în punctul „1” al șabei de grosime unitară din figură este:



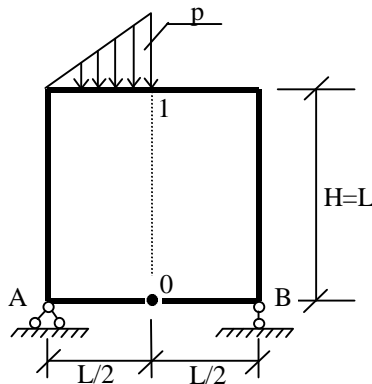
- a)  $F_1 = -pL$ ; a)
- b)  $F_1 = \frac{pL^2}{4}$ ; b)
- c)  $F_1 = -\frac{pL^2}{2}$ ; c)
- d)  $F_1 = \frac{pL^2}{8}$ . d)

10) Valorile corecte ale tensiunilor  $\sigma_y$  și  $\tau_{xy}$  în punctul „1” al elementului din figura de mai jos sunt:



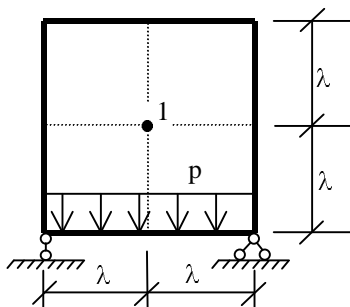
- a)  $\sigma_y = p, \tau_{xy} = 0$ ; a)
- b)  $\sigma_y = -p, \tau_{xy} = p$ ; b)
- c)  $\sigma_y = -p, \tau_{xy} = 0$ ; c)
- d)  $\sigma_y = 0, \tau_{xy} = 0$ . d)

11) Funcția de tensiuni, în punctul 1 al șabei din figură, - folosind originea O – este:



- a)  $F_1 = \frac{pL^2}{12}$ ; a)
- b)  $F_1 = \frac{pL^2}{24}$ ; b)
- c)  $F_1 = -\frac{pL^2}{6}$ ; c)
- d)  $F_1 = -\frac{pL^2}{24}$ . d)

12) Ce valori au tensiunile  $\sigma_x, \sigma_y, \tau_{xy}$  în punctul central al grinzii perete din figură, dacă determinarea lor se face prin metoda diferențelor finite, cu rețeaua indicată în desen:

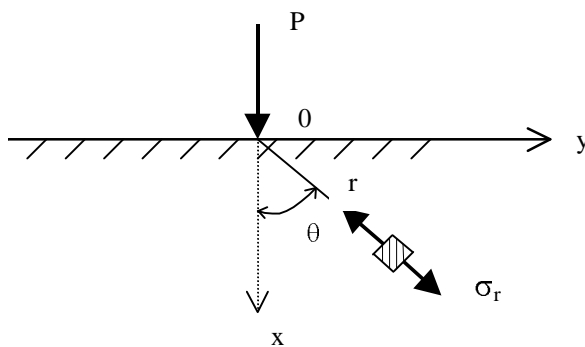


- a)  $\sigma_x = \frac{1}{8}p, \sigma_y = \frac{1}{3}p, \tau_{xy} = 0$  a)
- b)  $\sigma_x = -\frac{1}{6}p, \sigma_y = \frac{1}{3}p, \tau_{xy} = 0$  b)
- c)  $\sigma_x = \frac{1}{2}p, \sigma_y = \frac{1}{4}p, \tau_{xy} = 0$  c)
- d)  $\sigma_x = \frac{1}{3}p, \sigma_y = \frac{1}{4}p, \tau_{xy} = 0$  d)

13) Precizați valoarea raportului L/H pentru care un element plan dreptunghiular, încărcat în planul suprafeței mediane, se consideră grindă perete:

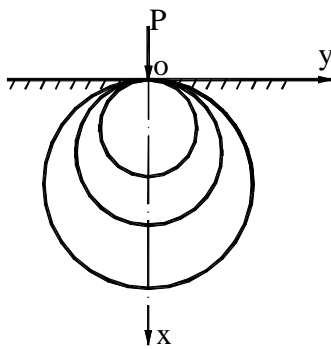
- a)  $\frac{L}{H} = 10$ ; a)   
 b)  $\frac{L}{H} < 5$ ; b)   
 c)  $\frac{L}{H} > 5$ ; c)   
 d)  $\frac{L}{H} > 10$ ; d)

14) Într-un punct al unui semiplan elastic, încărcat cu o forță normală la suprafață, ca în figură, tensiunile radiale sunt:



- a)  $\sigma_r = \frac{2P \cos \theta}{\pi r}$  a)   
 b)  $\sigma_r = -\frac{2P \cos \theta}{\pi r}$  b)   
 c)  $\sigma_r = -\frac{3P \cos \theta}{2\pi r}$  c)   
 d)  $\sigma_r = -\frac{3P \cos \theta}{2\pi r^2}$  d)

15) La un semiplan elastic acționat de o forță normală la contur, ca în figură, cercurile tangente la contur în origine, se numesc:



- a) izocromate; a)   
 b) izocline; b)   
 c) traiectoriile tensiunilor principale  $\sigma_1$ ; c)   
 d) izobare. d)

16) Ecuația diferențială a suprafeței mediane deformate în coordonate carteziene la plăci plane dreptunghiulare, încărcate cu forțe normale pe planul median, are forma:

- a)  $\frac{\partial^4 F}{\partial x^4} + 2 \frac{\partial^4 F}{\partial x^2 \partial y^2} + \frac{\partial^4 F}{\partial y^4} = 0$ ; a)   
 b)  $\frac{\partial^4 w}{\partial x^4} + 2 \frac{\partial^4 w}{\partial x^2 \partial y^2} + \frac{\partial^4 w}{\partial y^4} = \frac{p(x, y)}{D}$ ; b)   
 c)  $\frac{d^4 w}{dr^4} + \frac{2}{r} \frac{d^3 w}{dr^3} - \frac{1}{r^2} \frac{d^2 w}{dr^2} + \frac{1}{r^3} \frac{dw}{dr} = \frac{p(r)}{D}$ ; c)   
 d)  $\frac{d^4 w}{dx^4} = \frac{p(x)}{EI}$ ; d)

17) Eforturile care apar în plăcile plane dreptunghiulare, încărcate cu forțe normale pe planul median, sunt (forțele tăietoare se notează V sau Q):

- a) forțele axiale  $N_x, N_y$ ; forțele tăietoare  $V_x, V_y$ ; a)   
 b) forțele axiale  $N_x, N_y$ ; momentele încovoietoare  $M_x, M_y$ ; b)   
 c) momentele încovoietoare  $M_x, M_y$ ;  
 momentul de torsiune  $M_{xy} = M_{yx} = M_t$ ; forțele tăietoare  $V_x, V_y$ ; c)   
 d) forțele axiale  $N_x, N_y$ ; momentul de torsiune  $M_{xy} = M_{yx}$ ; d)

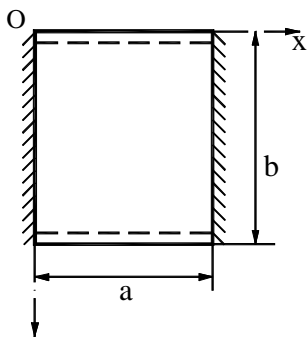
18) Momentul încovoietor  $M_x$ , la plăcile plane încovoiate, se exprimă în raport cu derivatele deplasării  $w$ , cu expresia:

- a)  $-D \left( \frac{\partial^2 w}{\partial y^2} + \nu \frac{\partial^2 w}{\partial x^2} \right)$ ; a)   
 b)  $-D(1-\nu) \frac{\partial^2 w}{\partial x \partial y}$ ; b)   
 c)  $-D \frac{\partial}{\partial x} \left( \frac{\partial^2 w}{\partial x^2} + \frac{\partial^2 w}{\partial y^2} \right)$ ; c)   
 d)  $-D \left( \frac{\partial^2 w}{\partial x^2} + \nu \frac{\partial^2 w}{\partial y^2} \right)$ . d)

19) Unele dintre tensiunile care apar într-o placă plană încovoiată au valorile maxime în modul pe suprafețele superioară și inferioară, ale plăcii. Care sunt acestea?

- a)  $\sigma_x, \tau_{xz}, \tau_{yz}$ ; a)   
 b)  $\sigma_y, \tau_{xz}, \tau_{yz}$ ; b)   
 c)  $\sigma_x, \sigma_y, \tau_{xy} = \tau_{yx}$ ; c)   
 d)  $\tau_{xy}, \tau_{xz}, \tau_{yz}$ ; d)

20) Condițiile pe contur la placa dreptunghiulară din figură sunt:



a) pe laturile  $x = 0; x = a$   $\begin{cases} w=0 \\ \frac{\partial w}{\partial x}=0 \end{cases}$

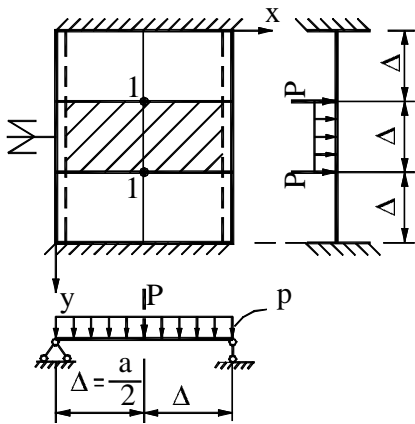
pe laturile  $y = 0; y = b$   $\begin{cases} w=0 \\ \frac{\partial w}{\partial y}=0 \end{cases}$  a)

b) pe laturile  $x = 0; x = a$   $\begin{cases} w=0 \\ \frac{\partial w}{\partial x}=0 \end{cases}$

pe laturile  $y = 0; y = b$   $\begin{cases} w=0 \\ \frac{\partial^2 w}{\partial y^2}=0 \end{cases}$  b)

- c) pe laturile  $x = 0; x = a$   $\begin{cases} w=0 \\ \frac{\partial^2 w}{\partial x^2}=0 \end{cases}$ ; pe laturile  $y = 0; y = b$   $\begin{cases} w=0 \\ \frac{\partial^2 w}{\partial y^2}=0 \end{cases}$  c)
- d) pe laturile  $x = 0; x = a$   $\begin{cases} w=0 \\ \frac{\partial^2 w}{\partial x^2}=0 \end{cases}$ ; pe laturile  $y = 0; y = b$   $\begin{cases} w=0 \\ \frac{\partial w}{\partial y}=0 \end{cases}$  d)

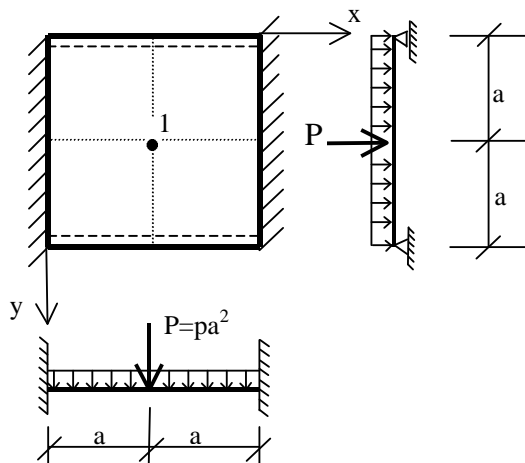
21) Pentru placa plană încărcată ca în figură, indicați valoarea corectă a termenului liber  $p_1$ , rezultat la transcrierea în diferențe finite a ecuației  $\nabla^2 \nabla^2 w(x, y) = \frac{P(x, y)}{D}$ , în punctul 1:



- a)  $p_1 = p + \frac{P}{\Delta^2}$ ; a)
- b)  $p_1 = \frac{p}{2} + P$ ; b)
- c)  $p_1 = \frac{p}{2} + \frac{P}{\Delta^2}$ ; c)
- d)  $p_1 = p + P$ ; d)

22) Săgeata și momentele încovoietoare în punctul central al plăcii prezentate în figură, determinate prin metoda diferențelor finite, utilizând rețeaua de puncte indicată, sunt:

- a)  $w_1 = \frac{pa^4}{10D}$ ,  $M_{x1} = M_{y1} = \frac{1+\nu}{5} \cdot \frac{pa^2}{D}$
- b)  $w_1 = \frac{pa^4}{5D}$ ,  $M_{x1} = \frac{1+\nu}{5} pa^2$ ,  $M_{y1} = \frac{1+\nu}{10} pa^2$
- c)  $w_1 = \frac{pa^4}{4D}$ ,  $M_{x1} = \frac{pa^2}{5}$ ,  $M_{y1} = \frac{pa^2}{10}$
- d)  $w_1 = \frac{pa^4}{20D}$ ,  $M_{x1} = \frac{pa^2}{10}$ ,  $M_{y1} = \frac{pa^2}{5}$

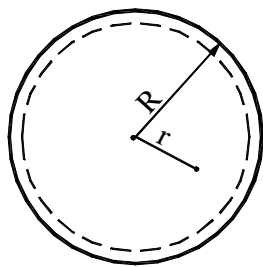


- a)
- b)
- c)
- d)

23) La plăcile circulare și inelare axial simetrice (cu simetrie polară) apar următoarele eforturi:

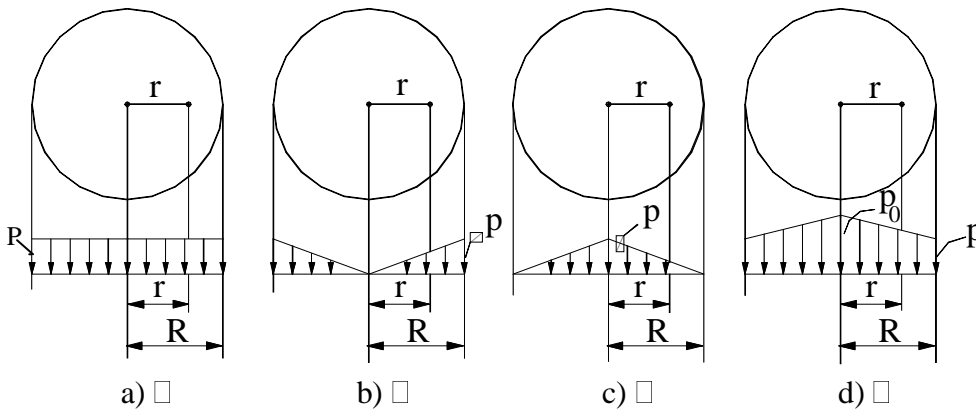
- a)  $M_r, M_{r\theta} = M_{\theta r}, V_r$ ; a)
- b)  $M_\theta, M_{r\theta} = M_{\theta r}, V_\theta$ ; b)
- c)  $M_r, M_\theta, M_{r\theta} = M_{\theta r}$ ; c)
- d)  $M_r, M_\theta, V_r$ ; d)

24) În cazul plăcii circulare pline, soluția ecuației diferențiale  $\nabla^2 \nabla^2 w(r) = \frac{p(r)}{D}$ , are forma:  $w = A_1 + B_1 r^2 + w_p$ . Precizați condițiile de rezemare corespunzătoare plăcii circulare simplu rezemate pe contur, necesare pentru determinarea constantelor de integrare  $A_1$  și  $B_1$ :



- pentru  $r = R \rightarrow$
- a)  $w=0; \frac{dw}{dr}=0$  a)
  - b)  $w=0; \frac{d^2 w}{dr^2} + \frac{\nu}{r} \frac{dw}{dr} = 0$  b)
  - c)  $w=0; \frac{d^2 w}{dr^2} = 0$  c)
  - d)  $w=0; \frac{d^2 w}{d\theta^2} = 0$  d)

25) Indicați cazul de încărcare al plăcii circulare, căreia îi corespunde soluția particulară  $w_p = \frac{pr^4}{64D}$ :



26) Care dintre condițiile de mai jos nu este conformă cu realizarea stării de membrană la plăcile curbe subțiri:

- a) grosimea plăcii curbe, constantă sau variabilă lent, este mică; a)
- b) suprafața plăcii curbe este continuă (fără goluri, rigidizări etc.); b)
- c) rezemarea continuă este în planul tangent la suprafața mediană; c)
- d) încărcările sunt concentrate (forțe sau momente) și pot avea orice sens. d)

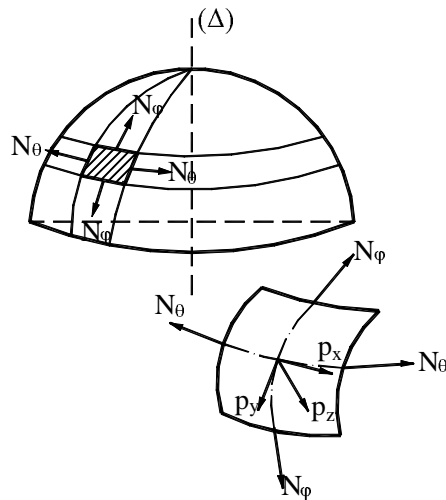
27) La plăcile curbe subțiri de rotație, axial simetrice, în teoria de membrană, efortul după meridian,  $N_\varphi$ , dintr-o secțiune precizată de unghiul  $\varphi$ , se exprimă cu relația

$$N_\varphi = -\frac{R_{\Delta\varphi}}{2\pi r \sin \varphi}, \text{ unde } R_{\Delta\varphi} \text{ este:}$$

- a) rază de curbura; a)   
 b) reacțiunea pe contur; b)   
 c) rezultanta încărcărilor gravitaționale aferente; c)   
 d) rezultanta reacțiunilor de pe contur. d)

28) Efortul circumferențial  $N_\theta$ , la plăcile curbe subțiri de rotație, axial simetrice în teoria de membrană, se deduce dintr-o ecuație de echilibru algebrică de forma: ( $r_1$  este raza de curbura a meridianului)

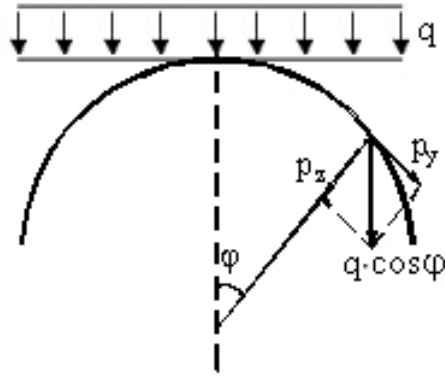
- a)  $\frac{N_\varphi}{r_1} + \frac{N_\theta}{r_2} + p_x = 0;$  a)   
 b)  $\frac{N_\varphi}{r_1} + \frac{N_\theta}{r_2} + p_z = 0;$  b)   
 c)  $\frac{N_\varphi}{r_1} + \frac{N_\theta}{r_2} + p_y = 0;$  c)   
 d)  $\frac{N_\varphi}{r_2} + \frac{N_\theta}{r_1} + p_z = 0;$  d)



29) Componentele intensității încărcării din zăpadă, la plăcile curbe de rotație axial simetrice, sunt:

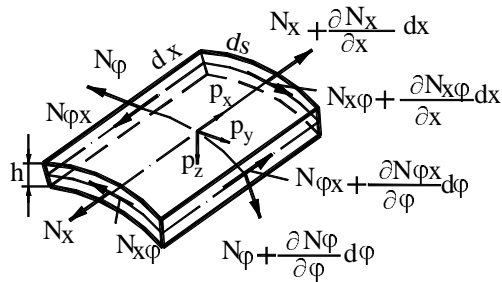
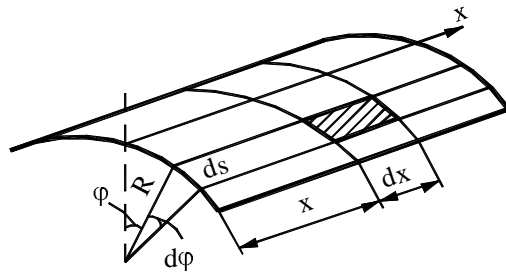
- a)  $p_x = 0, \quad p_y = g \cdot \sin \varphi, \quad p_z = g \cdot \cos \varphi;$  a)   
 b)  $p_x = 0, \quad p_y = 0, \quad p_z = \gamma \cdot H_\varphi;$  b)   
 c)  $p_x = 0, \quad p_y = q \cdot \cos \varphi \cdot \sin \varphi, \quad p_z = q \cdot \cos^2 \varphi;$  c)   
 d)  $p_x = 0, \quad p_y = 0, \quad p_z = p \cdot \sin \varphi \cdot \cos \theta.$  d)





30) Ecuațiile de echilibru ale plăcilor curbe cilindrice deschise, aflate în starea de membrană, sunt următoarele:

$$\begin{cases} \frac{\partial N_x}{\partial x} + \frac{1}{R} \frac{\partial N_{\varphi x}}{\partial \varphi} + p_x = 0; \\ \frac{\partial N_{x\varphi}}{\partial x} + \frac{1}{R} \frac{\partial N_\varphi}{\partial \varphi} + p_y = 0; \\ \frac{N_\varphi}{R} + p_z = 0. \end{cases}$$

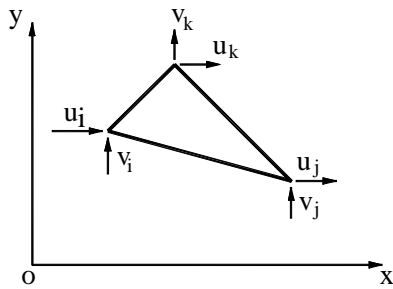


Eforturile se determină din acest sistem în ordinea:

- a)  $N_x, N_\varphi, N_{x\varphi}$ ;
- b)  $N_x, N_{x\varphi}, N_\varphi$ ;
- c)  $N_\varphi, N_{x\varphi}, N_x$ ;
- d)  $N_\varphi, N_x, N_{x\varphi}$ ;

- a)
- b)
- c)
- d)

31) Pentru elementul finit plan triunghiular din figură, câmpul de deplasare se exprimă sub forma:



$$u(x,y) = N_i u_i + N_j u_j + N_k u_k,$$

$$v(x,y) = N_i v_i + N_j v_j + N_k v_k$$

în care  $N_i, N_j, N_k$  sunt:

- a) funcții de tensiune;
- b) forțe axiale;
- c) funcții de potențial;
- d) funcții de formă (de interpolare).

32) Matricea de rigiditate  $[k_e]$  a elementului finit triunghiular de mai sus are dimensiunile:

- a) 4 x 4;
- b) 6 x 6;
- c) 2 x 2;
- d) 8 x 8.